

ลินุกซ์คลัสเตอร์ขนาดเล็กสำหรับการจำลองสนามไฟฟ้าแรงสูง : การวิเคราะห์สนามไฟฟ้า
Mini-Linux Cluster for High-Voltage Electric Field Simulation: Electric Field Analysis

นิติพงษ์ ปานกลาง*

บทคัดย่อ

บทความนี้ เสนอการประยุกต์ใช้ลินุกซ์คลัสเตอร์ขนาดเล็กที่พัฒนา ณ ห้องปฏิบัติการวิศวกรรมไฟฟ้า แรงสูงกับการวิเคราะห์สนามไฟฟ้าแรงสูงลินุกซ์คลัสเตอร์ที่พัฒนาขึ้นเป็นคลัสเตอร์แบบปิด มีประสิทธิภาพ การประมวลผลเลขทศนิยมและประมวลผลคำสั่ง ในเวลา 1 วินาทีเท่ากับ 1,075 Mflops และ 2,235 ล้านคำสั่ง ตามลำดับ ปัญหาที่ประยุกต์ใช้เป็นการวิเคราะห์ สนามไฟฟ้าแรงสูงศึกษาผลกระบวนการเคลื่อนตัว เข้าหากันของอนุภาคผุ่นภายในสวิตช์เกียร์ไฟฟ้าแรงสูง ที่มีต่อความเข้มสนามไฟฟ้าระหว่างอนุภาคผุ่น จากผล การคำนวณ พบว่า การเคลื่อนตัวเข้าหากันของอนุภาค ผุ่นมีผลทำให้ความเข้มสนามไฟฟ้ามีค่าสูงขึ้น โดยเมื่อ ระยะ d เท่ากับ 1.0 มิลลิเมตร ความเข้มสนามไฟฟ้าที่ จุดกึ่งกลางระหว่างอนุภาคค่อนวน, P มีค่าเท่ากับ 1.63kV/mm เมื่อระยะ d ลดลงเหลือ 0.5 และ 0.25 มิลลิเมตร สนามไฟฟ้ามีค่าเพิ่มขึ้นเป็น 2.21kV/mm และ 2.96kV/mm ตามลำดับ การเพิ่มขึ้นของสนามไฟฟ้าดัง ก่อมา อาจทำให้เกิดการเบรกดาวน์และการปล่อยประจุ บางส่วนขึ้น ซึ่งส่งผลทำให้อาชญาการใช้งานของค่อนวน ลดลง

คำสำคัญ: ลินุกซ์คลัสเตอร์ การวิเคราะห์สนามไฟฟ้า และวิธีประจุพื้นผิว

Abstract

This paper presents the application of mini-linux cluster for electric field analysis that has been developed in high voltage laboratory. The developed mini-linux cluster is a close system type. The FLOPS and MIPS of Linux cluster are 1,075 Mflops and 2,235 MIPS, respectively. The application problem is an electric field analysis of dielectric particles in high voltage switchgear. The simulation is observed the affect of the particles movement. The results are shown that the decrease of the distance among dielectric particles affected to an increase of electric field intensity. The distance among dielectric particles is 1.0 mm, the electric field intensity at point P equals to 1.63kV/mm . When the distance among dielectric particles is decreased from 1.0 mm to 0.5 mm and 0.25 mm which caused the value increase of the electric field intensity at point P form 1.63kV/mm to 2.21kV/mm and 2.96kV/mm , respectively. Therefore, the electric field increasing has lead to partial discharge phenomena and reduced the ageing of insulators.

Keywords: Linux Cluster, Electric Field Analysis and Surface Charge Method

*ภาควิชาวิศวกรรมไฟฟ้า คณะวิศวกรรมศาสตร์มหาวิทยาลัยเทคโนโลยีราชมงคลรัตนบุรี

39 หมู่ 1 ถนนรังสิต-นครนายก ตำบลคลองหก อําเภอธัญบุรี จังหวัดปทุมธานี Email : p.nitipong@gmail.com

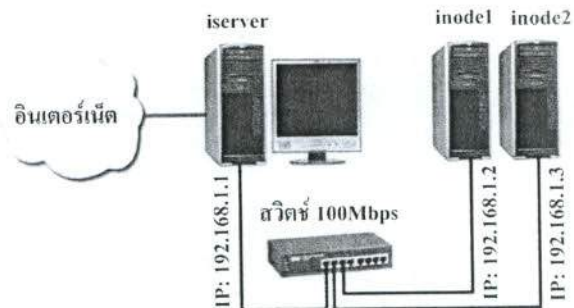
1. บทนำ

ปัจจุบัน การวิเคราะห์สานำไฟฟ้าด้วยวิธีเชิงตัวเลข สามารถทำได้จริงแล้ว เนื่องจากความก้าวหน้าทางเทคโนโลยีคอมพิวเตอร์ โดยเราสามารถใช้วิธีเชิงตัวเลขต่างๆ ในการศึกษาปัญหาต่างๆ ที่เกี่ยวกับวิศวกรรมไฟฟ้าแรงสูงได้อาภิเช่น การศึกษาผลการงานของรูป่างๆ รวมทั้งความที่มีต่อการปล่อยขยะและการงานไฟฟ้าตามความเร็วเพื่อพิจารณาในสภาวะปะระเบี้ยน [1] หรือการวิเคราะห์สานำไฟฟ้าบริเวณละอองน้ำบนชั้นวนพอดิเมอร์ในสภาวะโคลโนร่า [2] เป็นต้น การศึกษาดังกล่าวเป็นไปประยุกต์อย่างมากต่อการประยุกต์ใช้งานวัสดุชั้นวนกับอุปกรณ์ต่างๆ ทางวิศวกรรมไฟฟ้าแรงสูง แต่ทั้งนี้ ใน การวิเคราะห์สานนำไฟฟ้าด้วยวิธีเชิงตัวเลขในกรณีที่ปัญหาของเบ็ดที่ทำการวิเคราะห์ประกอบด้วยเงื่อนไขการคำนวณที่หลากหลาย เราจำเป็นต้องใช้เครื่องคำนวณที่มีประสิทธิภาพการประมวลผล เพื่อความแม่นยำของคำนวณและการคำนวณ ไม่ใช้เวลาคำนวณนานเกินไป

บทความนี้ นำเสนอผลการประยุกต์ใช้ระบบลินุกซ์คลัสเตอร์กับการวิเคราะห์สานนำไฟฟ้าแรงสูง เพื่อศึกษาผลการงานของอนุภาคฟุ่นขนาดเล็กที่ประป่อนอยู่ภายในสวิตช์เกียร์ไฟฟ้าแรงสูง ลินุกซ์คลัสเตอร์ที่ประยุกต์ใช้กับการคำนวณในบทความนี้ ผู้เขียนได้พัฒนาขึ้นจากคอมพิวเตอร์ส่วนบุคคลทั่วๆ ไป ซึ่งได้นำเสนอรายละเอียดของการออกแบบและการติดตั้งระบบในบทความที่ผ่านมา [3]

2. ลินุกซ์คลัสเตอร์

โครงสร้างระบบลินุกซ์คลัสเตอร์ ลินุกซ์คลัสเตอร์ที่ใช้ในบทความนี้ เป็นระบบคลัสเตอร์แบบปิด โดยคอมพิวเตอร์แต่ละเครื่องจะเชื่อมต่อโดยภายนอกหรืออินเตอร์เน็ตผ่านเกตเวย์ (Gateway) ข้อดีของระบบคลัสเตอร์แบบปิด คือ มีความปลอดภัยสูงและไม่เสื่อมเสื่อง ໄວที่แยกแยะ ส่วนข้อมูลเดียว ถือให้คอมพิวเตอร์ในระบบไม่สามารถติดต่อกับระบบภายนอกได้โดยตรง ทำให้การบริหารข้อมูลจากภายนอกได้ทำได้ยาก



รูปที่ 1 โครงสร้างของลินุกซ์คลัสเตอร์ที่ใช้ในการคำนวณ

โครงสร้างของลินุกซ์คลัสเตอร์แสดงดังรูปที่ 1 โดยประกอบด้วยคอมพิวเตอร์ทั้งหมด 3 เครื่อง ได้แก่ เครื่อง iserver เป็นเครื่องหลักหรือโหนดหลัก (Master Node) ใช้ชิปเซ็ต Sempron ความเร็ว 1.667GHz และมีหน่วยความจำแบบ DDR ขนาด 1GB การใช้งานลินุกซ์คลัสเตอร์ผู้ใช้จะป้อนคำสั่งหรือโปรแกรมผ่านทางเครื่อง iserver และสามารถดูการทำงานทางของอนุเครื่องนอกจากนั้น เครื่อง iserver ยังทำหน้าที่เป็นเกตเวย์ (Gateway) สำหรับเชื่อมต่ออินเตอร์เน็ตเพื่อใช้สำหรับการเข้าใช้งานระยะไกล

เครื่อง inode1 และ inode2 เป็นโหนดคอมพิวเตอร์ทำหน้าที่ช่วยในการประมวลผลคอมพิวเตอร์ทั้งสองเครื่อง ใช้ชิปเซ็ต Pentium 3 ความเร็ว 833MHz และมีหน่วยความจำแบบ SD ขนาด 256MB คอมพิวเตอร์ทั้งสามเครื่องจะเชื่อมต่อถึงกันผ่านระบบ LAN (LAN) ความเร็ว 100Mbps ระบบปฏิบัติการที่ใช้คือ ลินุกซ์รุ่น RedHat 7.3 และโอเพนโนว์กเกอร์รุ่นล่าสุด 2.4

ประสิทธิภาพการประมวลผล ลินุกซ์คลัสเตอร์ที่ประยุกต์ใช้ในการคำนวณสานนำไฟฟ้าแรงสูงในบทความนี้ มีความสามารถในการประมวลผลเลขทศนิยมในเวลา 1 วินาทีเท่ากับ 1,075Mflops และสามารถประมวลผลคำสั่งในเวลา 1 วินาทีได้เท่ากับ 2,235 ล้านคำสั่ง ดังแสดงในตารางที่ 1

ตารางที่ 1 ความสามารถในการประมวลผลเลขทศนิยมและจำนวนคำสั่งที่สามารถประมวลผลได้ใน 1 วินาที

ประสิทธิภาพ	Mflops	MIPS
Linux Cluster	1,075	2,235

3. การวิเคราะห์สนามไฟฟ้าแรงสูง

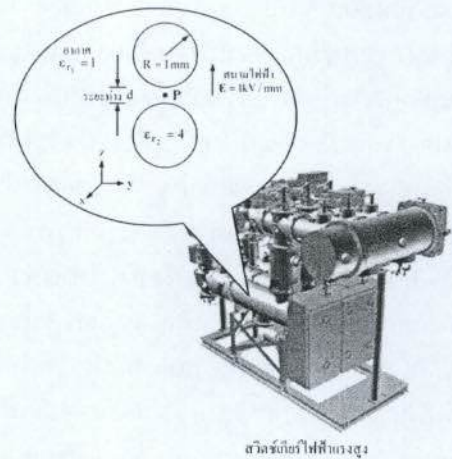
วิธีเชิงตัวเลข นักความนี้ คำนวณสนามไฟฟ้าด้วยวิธีประจุพื้นผิว (Surface Charge Method : SCM)[4] ซึ่งผู้เขียนได้พัฒนาโปรแกรมคำนวณขึ้น โดยใช้ภาษาซี หลักการคำนวณของวิธีประจุพื้นผิว อาศัยการแบ่งพื้นที่ ของแบบจำลองเป็นอเลิมเม้นท์ข้อๆ แล้วทำการคำนวณหาค่าความหนาแน่นของประจุไฟฟ้านอกอเลิมเม้นท์ สมการที่ใช้คำนวณหาความหนาแน่นประจุอยู่ในรูปของระบบสมการ เชิงเส้นแสดงดังสมการที่ (1) ซึ่งเป็นสมการความสัมพันธ์ระหว่างประจุไฟฟ้ากับค่าศักย์และสนามไฟฟ้าตามเงื่อนไขขอนเขต [5] ในการคำนวณ เรา假定ให้ตัวกลางห้องหมุด เป็นแบบไอโซทรอปิก (Isotropic) และปราศจากประจุถาวร (Space Charge) จากสมการที่ (1) เมื่อแก้สมการและทราบค่าความหนาแน่นประจุบนอเลิมเม้นท์ต่างๆ แล้ว เรายังนำค่าความหนาแน่นประจุไปคำนวณสนามไฟฟ้า ณ จุดต่างๆ บนแบบจำลอง

$$A\sigma = b \quad (1)$$

โดย A_i คือตัวประgonศักย์ไฟฟ้าและสนามไฟฟ้า ณ อเลิมเม้นท์ i เนื่องจากประจุบนอเลิมเม้นท์ j ($V m^2/C$ หรือ Vm/C) σ_j คือความหนาแน่นประจุบนอเลิมเม้นท์ j (C/m^2) และ b_i คือค่าซึ่งเก็บเงื่อนไขขอนเขต (V หรือ V/m)

แบบจำลอง 3 มิติ การคำนวณสนามไฟฟ้าเป็นการศึกษาผลของอนุภาคฝุ่นที่ปะปนในตัวกลางจำนวนของสวิตซ์เกียร์ไฟฟ้าแรงสูง โดยศึกษาผลกระทบของการเคลื่อนตัวเข้าหากันระหว่างอนุภาคจำนวนที่อยู่ติดกัน แบบจำลองมีลักษณะดังรูปที่ 2 โดยจำลองอนุภาคฝุ่นในลักษณะอนุภาคทรงกลมจำนวนภายในภายใต้สนามไฟฟ้าสม่ำเสมอ อนุภาคจำนวนทั้งสองมีรัศมีเท่ากับ 1 มิลลิเมตรและมีค่าสภาพของสัมพันธ์ ϵ_2 ภายในทรงกลมเท่ากับ 4 บริเวณภายใน

นอกทรงกลมเป็นอากาศค่าสภาพของสัมพันธ์ ϵ_1 เท่ากับ 1 และมีสนามไฟฟ้าภายนอก E เท่ากับ $1 kV/mm$ ในทิศทาง $+z$ การคำนวณจะเปลี่ยนแปลงระยะห่างระหว่างอนุภาค จำนวน d เท่ากับ 1.0, 0.5 และ 0.25 มิลลิเมตรตามลำดับ เพื่อคุณภาพที่มีต่อสนามไฟฟ้าบริเวณโดยรอบ

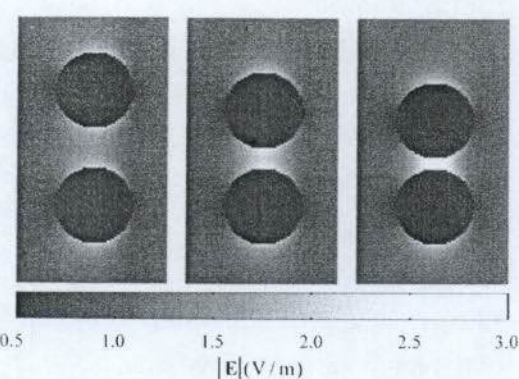


รูปที่ 2 แบบจำลองทรงกลมอนุวนที่ใช้ในการวิเคราะห์สนามไฟฟ้า

ตารางที่ 2 ความเข้มสนามไฟฟ้าที่จุด P ที่ระยะ d ต่างๆ

ระยะห่าง d (mm)	สนามไฟฟ้า $ E $ (kV/mm)
1.00	1.63
0.50	2.21
0.25	2.96

$d = 1.00$ $d = 0.50$ $d = 0.25$



รูปที่ 3 ความเข้มสนามไฟฟ้า $|E|$ บริเวณอนุภาคทรงกลมบนระนาบ $y = 0$ ที่ระยะห่าง d ต่างๆ

4. ผลการคำนวณและวิเคราะห์ผลการคำนวณ

การคำนวณสำหรับไฟฟ้าด้วยวิธีประจุพื้นผิว พื้นผิวทรงกลมค่อนวนแต่ละลูกถูกแบ่งเป็นเอกิเมนต์สามเหลี่ยมจำนวน 2,208 เอกิเมนต์ และเอกิเมนต์สามเหลี่ยมที่ใช้ในการคำนวณเป็นเอกิเมนต์สามเหลี่ยมพิเศษแบบด้านข้าง ความเร็ว [6] การแก้ระบบสมการเชิงเส้น $A\sigma = b$ เพื่อหาค่าความหนาแน่นประจุ, σ บนเอกิเมนต์สามเหลี่ยมแต่ละเอกิเมนต์ใช้วิธีการเดือนต์สังขุกู้แบบเสลียร์ (Biconjugate Gradient Stabilized Method, BiCGSTAB) [7] และกำหนดความคลาดเคลื่อนขั้นตอน (Tolerance) เท่ากับ 1×10^{-10} จากแบบจำลองในรูปที่ 2 ผู้เขียนคำนวณสำหรับไฟฟ้าที่จุด P โดยกำหนดระยะห่างระหว่างอนุภาคค่อนวน, d เท่ากับ 1.0, 0.5 และ 0.25 เมตรตามลำดับ ตารางที่ 2 แสดงค่าความเข้มสำหรับไฟฟ้าที่คำนวณได้ ณ จุด P กรณีที่ระยะ d เท่ากับ 1.0 มิลลิเมตร สำหรับไฟฟ้าที่จุด P มีค่าเท่ากับ 1.63 kV/mm การเคลื่อนที่เข้าหากันของอนุภาคค่อนวนทำให้สำหรับไฟฟ้าที่จุด P มีค่าเพิ่มขึ้น โดยที่ระยะ d เท่ากับ 0.5 และ 0.25 มิลลิเมตร สำหรับไฟฟ้าที่จุด P มีค่าเท่ากับ 2.21 kV/mm และ 2.96 kV/mm ตามลำดับ รูปที่ 3 แสดงความเข้มสำหรับไฟฟ้าบริเวณรอบๆ อนุภาคค่อนวนบนระนาบ $y = 0$ เมื่อระยะ d เท่ากับ 1.0, 0.5 และ 0.25 เมตร จากการคำนวณจะเห็นได้ว่า การที่ระยะลดลงจาก 1.0 เมตรเหลือ 0.25 เมตร หรือลดลงประมาณ 4 เท่า ทำให้สำหรับไฟฟ้าที่จุด P เพิ่มขึ้นประมาณ 1.82 เท่า

5. สรุป

บทความนี้ เสนอการประยุกต์ใช้ลินกุช์คลัสเตอร์ กับการวิเคราะห์สำหรับไฟฟ้าบนอนุภาคค่อนวนที่ประปนอยู่ภายในสวิตซ์เกียร์ ลินกุช์คลัสเตอร์ที่ใช้เป็นคลัสเตอร์แบบปีก ประกอบด้วยคอมพิวเตอร์ทั้งหมด 3 เครื่อง ลินกุช์คลัสเตอร์ที่ประยุกต์ใช้มีประสิทธิภาพการประมวลผลเลขทศนิยมและประมวลผลคำสั่งในเวลา 1 วินาทีเท่ากับ $1,075 \text{ Mflops}$ และ $2,235 \text{ ล้านคำสั่ง}$ ตามลำดับ ในกรณีที่ผู้เขียนได้จำลองอนุภาคฟุ่นในลักษณะของอนุภาคทรงกลมค่อนวนเพื่อศึกษาผลกระบวนการเคลื่อนตัวเข้าหากันของอนุภาคฟุ่นภายในสวิตซ์เกียร์ไฟฟ้าแรงสูงที่มีอัตราความเข้มสำหรับไฟฟ้าระหว่างอนุภาคฟุ่น จากการคำนวณ

พบว่า การเคลื่อนตัวเข้าหากันของอนุภาคฟุ่นมีผลทำให้ความเข้มสำหรับไฟฟ้ามีค่าสูงขึ้น โดยเมื่อระยะ d เท่ากับ 1.0 มิลลิเมตร ความเข้มสำหรับไฟฟ้าที่จุดกึ่งกลางระหว่างอนุภาคค่อนวน, P มีค่าเท่ากับ 1.63 kV/mm เมื่อระยะ d ลดลงเหลือ 0.5 และ 0.25 มิลลิเมตร สำหรับไฟฟ้ามีค่าเพิ่มขึ้นเป็น 2.21 kV/mm และ 2.96 kV/mm ตามลำดับ การเพิ่มขึ้นของสำหรับไฟฟ้าดังกล่าว อาจทำให้เกิดการเบรกดาวน์และการปล่อยประจุบางส่วน (Partial Discharge) ขึ้น ส่งผลทำให้อาชญากรรมใช้งานของคนงานลดลง

เอกสารอ้างอิง

1. Boudissa, R. and et al. 2005. Effect of Insulator Shape on Surface Discharges and Flashover under Polluted Conditions. IEEE Transactions on Dielectrics and Electrical Insulation, 12: 429 - 437.
2. Zhicheng, G. and et al. 2005. Electric Field Analysis of Water Drop Corona. IEEE Transactions on Power Delivery, 20: 946 - 969.
3. นิติพงษ์ ปานกลาง, “ลินกุช์คลัสเตอร์ขนาดเล็ก สำหรับการจำลองสำหรับไฟฟ้าแรงสูง : การออกแบบ และติดตั้งระบบ”, วารสารวิศวกรรมศาสตร์รามจงกล ชัยบุรี, มหาวิทยาลัยเทคโนโลยีราชมงคลชัยบุรี, ปีที่ 4, ฉบับที่ 8, 2549.
4. T. Takuma and T. Kouno, “Numerical Calculation Method of Electric Field”, Corona Pub, Tokyo, 1982.
5. H. Singer, H. Steinbigler, and P. Weiss, “A Charge Simulation Method for the Calculation of HV Fields”, IEEE PAS, Vol. 93, 1974.
6. H. Tsuboi, T. Takayama and K. Yano, “Setting Curved-Surface Triangular Element of Boundary Element Method for Electrostatic Field Problems”, IEEE Trans. on Magnetic, Vol.35, No.3, pp. 1123-1126, May 1999.
7. A. Greenbaum, “Iterative Method for Solving Linear Systems”, SIAM., Philadelphia, 1997.



ประวัติผู้เขียน

นิติพงษ์ ปานกลาง วศ.บ.

สถาบันเทคโนโลยีราชมงคล
พ.ศ. 2542 วศ.ม. จุฬาลงกรณ์
มหาวิทยาลัย พ.ศ. 2547

ปัจจุบันเป็นอาจารย์
ประจำภาควิชาวิศวกรรมไฟฟ้า
คณะวิศวกรรมศาสตร์ มหาวิทยาลัยเทคโนโลยี
ราชมงคลธัญบุรี สาขาวนวัตกรรมไฟฟ้าแรงสูงด้วยวิธี
เชิงตัวเลข